

# Ejercicios 3 del curso "Álgebras de Conglomerado"

Lara Bossinger

semestre 2022-1

## 4. La clasificación de tipo finito

### 4.5. Tipo C

**Lema 4.34.** Sea  $Q$  un carcaj con una acción de un grupo finito  $G$  tal que  $Q$  es globalmente plegable. Sea  $Q'$  un carcaj que se obtiene de  $Q$  agregando vértices congelados y flechas entre los vértices nuevos y los vértices mutables de  $Q$ . Extendimos la acción de  $G$  a  $Q'$  tal que cada vértice nuevo es fijo bajo la acción.

Entonces, también  $Q'$  es globalmente plegable con respecto a la acción de  $G$ .

**Corolario 4.35.** Sea  $Q$  un carcaj sin vértices congelados y globalmente plegable con respecto a la acción de un grupo finito  $G$ . Supongamos que cada patrón de semillas con matriz de intercambio inicial  $B(Q)$  (independientemente de las direcciones congeladas) es de tipo finito.

Entonces cada patrón de semillas con matriz de intercambio inicial  $B(Q)^G$  es de tipo finito.

**Ejercicio 4.8.** Pruebe el Lema 4.34 y el Corolario 4.35.

#### Solución:

Lema 4.34 Primero verificamos que  $Q'$  es  $G$ -admisibles afirmando los cuatro puntos de la Definición 4.7.

1. P.D. si  $i \sim i'$  entonces  $i$  es mutable si y solo si  $i'$  lo es: como solo agregamos vértices congelados a  $Q$ , se cumple.
2. P.D.  $b_{ij} = b_{g(i)g(j)}$  para todos  $g \in G$ : los vértices nuevos  $k$  cumplen  $g(k) = k$ .
3. P.D.  $i \sim i'$  implica  $b_{ii'} = 0$ : como  $b_{kk} = 0$  y  $g(k) = k$  se cumple para los nuevos vértices  $k$ .
4. P.D.  $i \sim i'$  implica  $b_{ij}b_{i'j} \geq 0$ : tenemos  $b_{kj}b_{kj} = b_{kj}^2 \geq 0$ .

Para verificar que  $Q'$  es globalmente plegable tenemos que afirmar que para cada secuencia  $J_1, \dots, J_s$  que  $\mu_{J_1} \circ \dots \circ \mu_{J_s}(Q)$  es  $G$ -admisibles. Procedemos por inducción: para  $s = 1$  nota que cada  $G$ -órbita mutable en  $Q'$  es una  $G$ -órbita mutable en  $Q$  pues solo agregamos vértices congelados. Entonces  $\mu_J(Q')$  se obtiene de  $\mu_J(Q)$  agregando vértices congelados y flechas entre los vértices nuevos y los vértices viejos. En particular, por lo anterior,  $\mu_J(Q')$  es  $G$ -admisibles.

Corolario 4.35 es consecuencia del Lema 4.34 con el Corolario 4.14.

En el carcaj  $Q(T_0)$  etiquetamos los vértices que corresponden a arcos  $\overline{i, n+1}$  como  $i$  y a los vértices en la misma órbita bajo la simetría central como  $i'$ , como en la Figura ???. El carcaj  $Q(T_0)$  es una orientación del diagrama de Dynkin de tipo  $A_{2n+2}$  con vértices (en orden)  $n', \dots, 3', 2', 1, 2, 3, \dots, n$  y flechas orientadas al vértice central 1.

Sea  $G = \mathbb{Z}_2$  actuando en  $Q(T_0)$  de tal manera que intercambia los vértices  $i$  y  $i'$  para  $i \in [2, n]$  y que fija 1.

**Ejercicio 4.9.** Verifica que  $Q(T_0)$  es  $G$ -admisibile y que la matriz de intercambio plegada  $B(Q(T_0))^G$  es

$$\begin{pmatrix} 0 & -1 & 0 & 0 & \dots & 0 & 0 \\ 2 & 0 & -1 & 0 & \dots & 0 & 0 \\ 0 & 1 & 0 & -1 & \dots & 0 & 0 \\ 0 & 0 & 1 & 0 & \dots & 0 & 0 \\ \vdots & \vdots & \vdots & \vdots & \ddots & \vdots & \vdots \\ 0 & 0 & 0 & 0 & \dots & 0 & -1 \\ 0 & 0 & 0 & 0 & \dots & 1 & 0 \end{pmatrix}. \quad (1)$$

**Solución:** Verificamos que  $Q(T_0)$  es  $G$ -admisibile:

1. todos los vértices son mutables;
2. se satisface por la simetría central de  $Q(T_0)$ ;
3. las  $G$ -órbitas son totalmente desconexas;
4. no existen caminos orientados de longitud dos que conectan dos vértices en la misma  $G$ -órbita.

Sean  $I = \{i, i'\}$  y  $J = \{j, j'\}$  una  $G$ -órbita con  $2 \leq i < j \leq n$  entonces,

$$b_{IJ}^G = b_{i,j} + b_{i',j'} = \begin{cases} -1 & j = i + 1 \\ 0 & j \neq i + 1 \end{cases}$$

Para la  $G$ -órbita  $\{1\}$  obtenemos

$$b_{\{1\},I}^G = b_{1i} = \begin{cases} -1 & i = 2 \\ 0 & i \neq 2 \end{cases} \quad y \quad b_{I,\{1\}}^G = b_{i1} + b_{i'1} = \begin{cases} 2 & i = 2 \\ 0 & i \neq 2 \end{cases}$$

#### 4.6. Enumeración y tipo 2-finito

**Ejercicio 4.10.** Prueba que los patrones de semillas de tipo  $C_n$  tienen  $\binom{2n}{n}$  semillas y  $n(n+1)$  variables de conglomerado usando el modelo geométrico de la sección §4.5.

**Ejercicio 4.11.** Sean  $B$  y  $B'$  dos matrices de intercambio tal que sus compañeras de Cartan  $A(B)$  y  $A(B')$  corresponden al mismo diagrama de Dynkin no simplemente lazado. Entonces,  $B$  y  $B'$  son equivalentes bajo mutación.

**Solución:**  $B$  y  $B'$  se obtienen plegando dos carcajes  $Q$  y  $Q'$  globalmente plegables con respecto a la acción de un grupo finito  $G$  que son orientaciones (eventualmente distintas) del mismo diagrama de Dynkin simplemente lazado, digamos  $Y_m$ . Sea  $(k_1, \dots, k_s)$  la secuencia de mutaciones que según el Corolario 2.17 transforma la orientación  $Q$  de  $Y_m$  a la orientación  $Q'$ . Como  $Q'$  es  $G$ -admisibles la secuencia  $(k_1, \dots, k_s)$  corresponde a una secuencia de mutaciones en  $G$ -orbitas mutables  $(K_1, \dots, K_r)$  y el Lema 4.10 aplica.

**Ejercicio 4.12.** En este ejercicio tratamos el caso de un álgebra de conglomerado de tipo descomponible. Para un diagrama de Dynkin  $X_n$  sea  $s(X_n)$  el número de semillas de un álgebra de conglomerado de tipo  $X_n$  y sea  $vc(X_n)$  el número de las variables de conglomerado.

Pruebe las siguientes afirmaciones.

1. Si  $\mathcal{A}$  es un álgebra de conglomerado de tipo  $X_n \sqcup Y_{n'}$ , entonces el número de las variables de conglomerado de  $\mathcal{A}$  es  $vc(X_n) + vc(Y_{n'})$  y el número de semillas de  $\mathcal{A}$  es  $s(X_n) \cdot s(Y_{n'})$ .
2. Si la compañera de Cartan de una matriz de intercambio es de tipo finito (posiblemente descomponible) entonces el patrón de semillas es de tipo finito. *Tipp:* Puedes usar el hecho que cada patrón de semillas de tipo  $X_n$  es de tipo finito donde  $X_n$  es un diagrama de Dynkin conexo.
3. Si  $B$  y  $B'$  son matrices de intercambio y  $A(B)$  y  $A(B')$  son sus compañeras de Cartan de tipo finito (posiblemente descomponibles), entonces  $A(B)$  y  $A(B')$  son del mismo tipo si y solo si  $B$  y  $B'$  son equivalentes bajo mutación.

**Solución:**

1. Si  $\mathcal{A}$  es de tipo  $X_n \sqcup Y_m$  entonces (bajo permutación) existe una matriz de intercambio en el patrón de semillas de  $\mathcal{A}$  que tiene forma block diagonal tal que las compañeras de Cartan de los bloques son de tipo  $X_n$  y  $Y_{n'}$ . En particular, las semillas en el patrón de semillas tienen la forma  $(\mathbf{x} \cup \mathbf{x}', \begin{pmatrix} B & 0 \\ 0 & B' \end{pmatrix})$  donde  $(\mathbf{x}, B)$  es una semilla de tipo  $X_n$  y  $(\mathbf{x}', B')$  es una semilla de tipo  $Y_{n'}$ . En particular, para cada semilla de tipo  $X_n$  tenemos  $s(Y_{n'})$  semillas de tipo  $X_n \sqcup Y_m$  y el número de variables de conglomerado de tipo  $X_n \sqcup Y_m$  es  $vc(X_n) + vc(Y_{n'})$ .
2. Es una consecuencia de 1.
3. Ya sabemos este resultado para el caso que  $A(B)$  y  $A(B')$  corresponden a diagramas de Dynkin conexos (Prueba del Teorema 4.26).
  - $\Rightarrow$  Si  $A(B)$  y  $A(B')$  corresponden a la misma unión disjunta de diagramas de Dynkin de tipo finito, entonces bajo permutación  $B$  y  $B'$  son matrices diagonales por bloques cuyos bloques son matrices de intercambio con la misma compañera de Cartan. Así el argumento se reduce al caso que  $A(B)$  y  $A(B')$  corresponden al mismo diagrama de Dynkin conexo.
  - $\Leftarrow$  Sean  $B$  y  $B'$  son equivalentes bajo mutación y sean  $A(B), A(B')$  sus compañeras de Cartan. Si  $A(B)$  y  $A(B')$  corresponden a diagramas de Dynkin no conexos entonces  $B$  y  $B'$  son matrices diagonales por bloques. Como son equivalentes bajo mutación hay una correspondencia entre los bloques de  $B$  y los bloques de  $B'$ . Cada bloque corresponde a una componente conexa del diagrama de Dynkin, pues la afirmación es una consecuencia de la Prueba del Teorema 4.26

**Ejercicio 4.13.** El diagrama  $\Gamma' := \Gamma(\mu_k(B))$  se determina de manera única del diagrama  $\Gamma(B)$  y la dirección mutable  $k$ . Más precisamente  $\Gamma'$  se obtiene de  $\Gamma$  en los siguientes pasos:

1. la orientación de las flechas adyacentes a  $k$  se invierta y se quedan con los mismos pesos;
2. para cada camino  $i \xrightarrow{a} k \xrightarrow{b} j$  distinguimos dos casos (ambos incluyen el caso que no existen flechas entre  $i$  y  $j$ ):

- si existe una flecha  $i \xrightarrow{c} j$ : en este caso en  $\Gamma'$  tenemos

$$\begin{array}{ccc} & k & \\ a \swarrow & & \nwarrow b \\ i & \xrightarrow{c'} & j \end{array} \quad \text{donde } c' = (\sqrt{ab} + \sqrt{c})^2;$$

- si existe una flecha  $i \xleftarrow{c} j$ : en este caso en  $\Gamma'$  tenemos

$$\begin{array}{ccc} & k & \\ a \swarrow & & \nwarrow b \\ i & \xleftarrow{c'} & j \end{array} \quad \text{donde } c' = (\sqrt{ab} - \sqrt{c})^2;$$

3. todos los demás flechas se quedan iguales.

*Tipp:* considera la matriz casi-simétrica  $S(B) = (s_{ij})$  asociada con  $B$  con entradas  $s_{ij} := \text{sgn}(b_{ij})\sqrt{b_{ij}b_{ji}}$  y prueba que  $\mu_k(S(B)) = S(\mu_k(B))$ .

**Solución:** Proposition 8.1 en Fomin–Zelesinky *Cluster algebras II: Finite type classification* [?]

#### 4.6.1. Los Árboles

**Ejercicio 4.14.** Si  $B$  es una matriz 2-finita entonces para todas las  $i, j, k$  distintas tenemos

$$b_{ij}b_{jk}b_{ki} = -b_{ji}b_{kj}b_{ik}.$$

Además los pesos de triángulos en  $\Gamma(B)$  son  $\{1, 1, 1\}$  o  $\{2, 2, 1\}$ . *Tipp:* Sin perder de generalidad puedes suponer que  $B$  es una matriz  $3 \times 3$ .

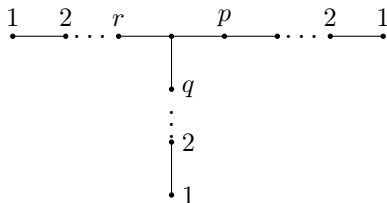
**Solución:** Lemma 7.6 en Fomin–Zelesinky’s *Cluster algebras II: Finite type classification* [?]

#### 4.6.2. Los Ciclos

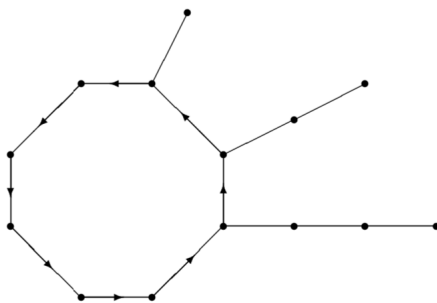
**Ejercicio 4.15.** Muestra que en el último caso de la prueba de la Proposición 4.45 tenemos  $\Gamma \sim F_4$ .

### 4.6.3. Ejercicios

**Ejercicio 4.16.** Sean  $p, q, r \in \mathbb{Z}_{\geq 0}$  y  $T_{p,q,r}$  la gráfica con  $p + q + r + 1$  vértices que se forma de tres cadenas de gráficas de tipo  $A_{r+1}, A_{p+1}$  y  $A_{q+1}$  plegadas en un vértice:



Sean  $p, q, r \in \mathbb{Z}_{>0}$  y  $s \in \mathbb{Z}_{\geq 0}$ . Definimos el diagrama  $S_{r,p,q}^s$  con  $p + q + r + s$  vértices que consiste de un  $s + 3$ -ciclo orientado y tres gráficas de tipo  $A_{r-1}, A_{p-1}$  y  $A_{q-1}$  plegadas a tres vértices consecutivos del ciclo. Por ejemplo,  $S_{4,3,2}^5$  es



Todos los pesos en las flechas son uno y las orientaciones de las aristas en los subdiagramas de tipo  $A$  son arbitrarias.

Muestra que el diagrama  $S_{r,p,q}^s$  es equivalente bajo mutación a un diagrama de tipo  $T_{p+r-1,q,s}$ .

**Solución:** Lemma 9.6 en Fomin–Zelevinsky's: *Cluster algebras II: Finite type classification* [?]

## 5. Coeficientes

### 5.1. Semicampos

**Ejercicio 5.1.** La adición auxiliar del semicampo tropical como definida en (5.1) es conmutativa, asociativa y distributiva con respecto a la multiplicación usual, es decir:  $(p \oplus q)r = pr \oplus qr$ . En particular,  $\text{Trop}(y_1, \dots, y_n)$  es un semicampo.

**Ejercicio 5.2.** Muestra que  $\mathbb{Z}\mathbb{P}$  es un dominio integral para cualquier  $\mathbb{P}$ .

**Solución:** Primero verificamos que  $\mathbb{P}$  es libre de torsión: sea  $p \in \mathbb{P}$  con  $p^m = 1$  para algún  $m$ . Calculamos

$$p = \frac{p^{m-1} \oplus p^{m-2} \oplus \dots \oplus 1}{p^{m-1} \oplus p^{m-2} \oplus \dots \oplus 1} p = \frac{p^m \oplus p^{m-1} \oplus \dots \oplus p}{p^{m-1} \oplus p^{m-2} \oplus \dots \oplus 1} = 1.$$

Aun  $\mathbb{P}$  no necesariamente es finitamente generado (e.g el semicampo universal) cada subgrupo finitamente generado es una latiz (abeliano y libre de torsión). Sean  $p, p' \in \mathbb{Z}\mathbb{P}$  tal que  $pp' = 0$ . Entonces,  $p$  y  $p'$  son sumas finitas de elementos en  $\mathbb{P}$ . Sea  $G$  el subgrupo generado de todos los sumandos de  $p$  y  $p'$ , pues  $G$  es finitamente generado y una latiz. Tenemos  $pp' \in \mathbb{Z}G$  que es un anillo de polinomios de Laurent, pues libre de divisores de cero.

**Ejercicio 5.3.** Prueba el Lema 5.5. En particular, muestra que cada identidad en el semicampo universal es válida en cualquier otro semicampo.

**Solución:** Lemma 2.1.6 en Berenstein–Fomin–Zelevinsky’s *Parametrizations of canonical bases and totally positive matrices* [?].

## 5.2. Y-patrones y álgebras de conglomerado con coeficientes

**Ejercicio 5.4.** Muestra que la mutación de  $Y$ -semillas es una involución.

**Ejercicio 5.5.** La condición normalizando junto con la mutación de  $Y$ -semillas determina de manera única las tuplas  $\mathbf{p}(t) = (p_{1;t}^+, p_{1;t}^-, \dots, p_{n;t}^+, p_{n;t}^-)$  con  $p_{k;t}^+ := \frac{y_{k;t}}{y_{k;t} \oplus 1}$  y  $p_{k;t}^- := \frac{1}{y_{k;t} \oplus 1}$ .

### 5.2.1. Ejercicios

**Ejercicio 5.6.** Prueba la Proposición 5.19, es decir prueba que para cada generador  $p_j$  de  $\mathbb{P}$  y cada variable de conglomerado  $z$  que  $z$  es un polinomio en  $p_j$ . *Tipp: usa inducción sobre la distancia entre una semilla que contiene la variable  $z$  y la semilla inicial como en la prueba del Teorema 3.1.*

**Ejercicio 5.7.** Sean  $P_1, P_2, P_3, P_4 \in \mathbb{P}^1$  cuatro puntos en la línea proyectiva. Entonces,  $P_i = [a_i : b_i]$  en coordenadas proyectivas. Definimos

$$Y(P_1, P_2, P_3, P_4) = \frac{P_{14}P_{23}}{P_{12}P_{34}}$$

donde  $P_{ij} := \det \begin{pmatrix} a_i & a_j \\ b_i & b_j \end{pmatrix}$ . Nota que  $Y$  está relacionada a la razón cruzada convencional bajo  $Y(P_1, P_2, P_3, P_4) = -(P_1, P_3; P_4, P_2)$ . La razón cruzada es una invariante de cuatro puntos colineales y se puede generalizar para  $n$ -tuplas de puntos  $P_1, \dots, P_n$  en  $\mathbb{P}^1$ .

1. Dado seis puntos  $P_1, \dots, P_6 \in \mathbb{P}^1$  calcula las razones cruzadas  $Y(P_1, P_i, P_{i+1}, P_{i+2})$  con  $i \in \{2, 3, 4\}$  en términos de las razones cruzadas  $Y(P_j, P_{j+1}, P_{j+2}, P_6)$  con  $j \in \{1, 2, 3\}$ .
2. Dado una triangulación del  $n$ -ágono  $T$  sea  $B_T$  la matriz de intercambio (no extendida) del carcaj  $Q_T$  (Definición 2.7). Cada arco  $d \in T$  es la diagonal de un cuadrilátero con vértices  $i, j, k, l$ . Definimos  $Y_d := Y(P_i, P_j, P_k, P_l)$ . Sea  $Y_T := (Y_d : d \in T)$ . Muestra que  $(Y_T, B_T)$  es un  $Y$ -patrón.
3. Concluye que para saber los  $\binom{n}{4}$  razones cruzadas de  $P_1, \dots, P_n \in \mathbb{P}^1$  es suficiente calcular  $n - 3$  de ellas.

**Solución:** Example 3.5.8 en Fomin–Williams–Zelevinsky’s *Introduction to cluster algebras*, chapters 1 - 3. [?]

1. Recuerda el carcaj y la semilla asociada a una triangulación del hexágono. Sea  $T$  la triangulación con arcos  $\overline{15}, \overline{14}, \overline{13}$ . Como el álgebra de conglomerado coincide con el álgebra de Plücker  $A_{2,6}$  tenemos las variables de conglomerado  $p_{13}, p_{14}, p_{15}$  y las variables congeladas  $p_{12}, p_{16}, p_{23}, p_{24}, p_{25}$ . Identificamos los puntos  $P_1, \dots, P_6$  con los vértices del hexágono. Así obtenemos

$$Y(P_1, P_2, P_3, P_4) = \frac{P_{14}P_{23}}{P_{12}P_{34}} = \frac{p_{14}p_{23}}{p_{12}p_{34}} = \hat{y}_{13},$$

donde  $\hat{y}_{\overline{13}} = \prod_{\overline{ij} \in T} p_{ij}^{b_{\overline{ij}, \overline{13}}}$  y  $B = (b_{\overline{ij}, \overline{kl}})_{\overline{ij}, \overline{kl} \in T}$  es la matriz del carcaj  $Q_T$ . De manera similar verificamos

$$Y(P_1, P_3, P_4, P_5) = \hat{y}_{45}, \quad Y(P_1, P_4, P_5, P_6) = \hat{y}_{15}.$$

Para el segundo conjunto de razones cruzadas consideramos la triangulación  $T'$  del hexágono con arcos  $\overline{26}, \overline{36}, \overline{46}$ . Sea  $\hat{y}'_{\overline{kl}} = \prod_{\overline{ij} \in T'} p_{ij}^{b'_{\overline{ij}, \overline{kl}}}$  con  $B' = (b'_{\overline{ij}, \overline{kl}})_{\overline{ij}, \overline{kl} \in T'}$  es la matriz del carcaj  $Q_{T'}$ . Calculamos

$$Y(P_1, P_2, P_3, P_6) = \hat{y}'_{26}, \quad Y(P_2, P_3, P_4, P_6) = \hat{y}'_{36}, \quad Y(P_3, P_4, P_5, P_6) = \hat{y}'_{46}.$$

Desde el Corolario 5.10.2 sabemos que los  $\{\hat{y}_{\overline{ij}} : \overline{ij} \in T\}$  forman un  $Y$ -patrón. En particular, los  $\hat{y}'_{\overline{kl}}$  con  $\overline{kl} \in T'$  tienen expresiones en términos de los  $\{\hat{y}_{\overline{ij}} : \overline{ij} \in T\}$  que se pueden calcular, por ejemplo usando el Lema 5.28.

### 5.3. Formulas de separación

**Ejercicio 5.8.** Prueba la Proposición 5.24 usando la Proposición 5.19.

#### 5.3.1. Ejercicios

**Ejercicio 5.9.** Sea  $t \in \mathbb{T}_n$  y  $j \in [n]$ .

1. Prueba que

$$Y_{j;t} = Y_{j;t}|_{\text{Trop}(y_1, \dots, y_n)} \prod_{i=1}^n F_{i;t}^{b_{ij}^t} \quad (2)$$

donde  $B(t) = (b_{ij}^t)_{i,j \in [n]}$  es la matriz de intercambio en  $t$ .

2. Prueba que si  $b_{ij}^t \geq 0$  para todas las  $i \in [n]$ , entonces  $Y_{j;t}$  es un polinomio de Laurent en los coeficientes iniciales  $y_1, \dots, y_n$ .

**Solución:**

1. Proposición 3.13 en Fomin–Zelevinsky's: *Cluster algebras IV: Coefficients*. [?]
2. Proposición 3.15 en Fomin–Zelevinsky's: *Cluster algebras IV: Coefficients*. [?]